

干潟における生物生息環境の定量的評価に関する研究 ——多毛類を対象として——

新保 裕美*・田中昌宏**・池谷 毅***・林 文慶****

1. はじめに

近年, 干潟など沿岸域の浅場がそれ自体貴重な生態系であるばかりでなく, 海域全体の生態系にとっても極めて重要な機能を有することが明らかとなってきた。このため, 埋立て等の人為的な行為の影響の正確な予測や環境修復或いは新たな環境創造のために, 干潟の生物生息環境を定量的に評価する手法の開発が必要となっている。著者らは干潟を具体的に造る技術の確立を最終目標に, まず干潟生態系の中位に位置するアサリを対象に, 干潟の生息地としての適性を定量化するモデル(生息地適性評価モデル(以下 HEP モデル))の開発を行った(新保ら, 2000)。このモデルでは複数の支配的な環境因子毎に, 生息限界や最適環境を定量的に評価するため, 環境の現状評価や予測が可能であるばかりでなく, 干潟の具体的な構造についての指針を与えることができる。したがって, このモデルを干潟の他の代表生物にも適用し, さらにそれらを総合化する評価手法を確立すれば, 干潟生態系そのものの理解が進むだけではなく, 干潟修復・創造技術の確立に繋がるものである。

そこで本研究では, アサリの次のターゲットとして多毛類を対象に, HEP モデルの開発を行った。多毛類は, 干潟生態系の中位に位置し, かつ鳥類や魚類の餌であるため干潟生態系上位への鍵である。また, 底質の有機物を食すること, および巣穴の形成により底質の酸化層の面積を増加する(バイオターペーション)(栗原, 1988)ことによって有機物の無機化が促進され, 脱窒にも寄与するなど, 水質浄化機能でも重要な生物である。本研究では, 多毛類の環境因子と多毛類生息量の関係を明らかにするため, 著者らが行った現地観測結果(新保ら, 1999)を中心に分析し, さらに他の干潟のデータについても合わせて検討を行った。そして, これらの検討結果に基づき, ゴカイを対象に HEP モデルを作成した。

2. HEP (Habitat Evaluation Procedures) の概要

HEP は, 米国において開発事業の影響評価と計画に用いるために開発された対象地域の生物生息地としての適性を評価するための手法である。HEP は, 最終的にひとつの数字 HU(生息地単位)で評価される。HU は, 対象地域のユニット毎に対象生物の生息地としての適性(HSI)を評価し, それに面積を乗じた値を合計して算出する。したがって, HSI と対象生物の生息量が線形な関係であれば, 生息量を予測し, ミティゲーションに必要な代替面積を決定することができる。

HSI を評価する方法は, まず, 生息に影響を及ぼす環境因子を洗い出し, 各因子について生息環境の点数化(SI モデルの作成)を行う。これを「生物の棲みやすさ指標(SI)」と呼び, さらにこれらを総合化して一つの数値 HSI を求める。SI モデルは, 科学的知見や現地観測結果に基づき作成する。

3. モデルの作成

多毛類の生息量と環境因子の関係に関する既往の知見は極めて少ない。そこで, これらの関係を明らかにするため, 著者らが 1998 年~2000 年に神奈川県金沢八景海域で行った現地観測結果を中心に分析し, さらに, 横浜市公害研究所が 1982 年~1984 年に同海域で行った観測データおよび古川ら(1999)が 1996 年~1998 年に千葉県三番瀬で行った観測データも合わせて検討を行った。

(1) 現地観測の概要

著者らが観測を行った海域は, 図-1 に示す, 天然干潟と人工干潟が隣接する海域である。観測は, 1998 年~2000 年にかけて秋(2 回), 冬, 夏の計 4 回行い, 計測点は図中に示す総数 38 点である(新保ら, 1999)。観測の結果, 多毛類の総種類数は 102, その中から 900 個体/m²以上観測された種は表-1 に示す 12 種で, 八景海域ではゴカイ類が優先種であった。観測された種のうち, 渡り鳥の秋の渡り期および越冬期に潮間帯で生息数が最も多いのはコケゴカイであった。夏期には, 釣り餌であるゴカイの生息数がコオニスピオに次いで多かった。また, 有

* 正会員 鹿島技術研究所

** 正会員 工博 鹿島技術研究所水城環境グループ長

*** 正会員 工博 鹿島技術研究所構造・海洋グループ長

**** 正会員 学博 鹿島技術研究所

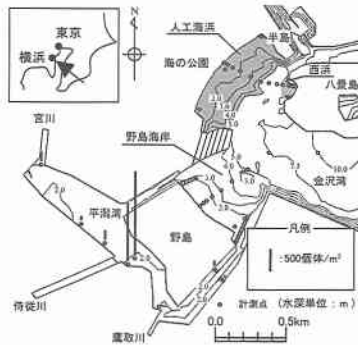


図-1 ゴカイの分布（金沢八景：1999年7、8月）

機汚濁指標の代表的な種であるヨツバネスピオ A型が、主に潮下帯に生息していた。

以下に、ゴカイ、ヨツバネスピオ A型およびコケゴカイについて金沢八景海域および三番瀬における空間的な分布を示し、それらの生息環境を考察する。

図-1に、金沢八景海域における1999年7、8月のゴカイの個体数の空間分布を示す。計測点を○で示す。これより、ゴカイが平潟湾にのみ生息していることがわかる。平潟湾は、外海とは2本の水路のみで繋がった閉鎖性の高い海域であるために波が侵入しにくく、金沢湾に比べて静穏である。また、平潟湾には、3本の河川水が流入しているため、平潟湾内の塩分は金沢湾よりも低い。したがって、ゴカイが金沢湾に生息していない原因として、金沢湾と平潟湾の波浪条件やそれに起因する底質および塩分の違いである可能性が考えられる。

一方、三番瀬ではゴカイの生息が観測されなかった。1999年の金沢八景海域にゴカイが生息していたのはいずれも潮間帯であったのに対し、三番瀬の計測点は、いずれも潮下帯であった。したがって、ゴカイが生息していなかった原因として、水深や干出時間が制限因子となっている可能性が考えられる。

図-2に、金沢八景海域における2000年10月のヨツバネスピオA型の空間分布を示す。これより、金沢湾においては水深約0~10mの範囲で生息しているのがわかる。特に3~4mの範囲で生息量が多い。

図-3に、三番瀬におけるヨツバネスピオA型の空間分布を示す。これより、三番瀬においては、水深約1~13mの範囲で生息しており、特に水深10m付近での生息

表-1 金沢八景海域における多毛類の出現種

(900 個體/ m^2 以上：1998 年 10 月～2000 年 10 月)

	学名	和名
1	<i>Ceratonereis erythraensis</i>	コケゴカイ
2	<i>Neanthes japonica</i>	ゴカイ
3	<i>Neanthes succinea</i>	アシナガゴカイ
4	<i>Platynereis bicanaliculata</i>	ツルヒゲゴカイ
5	<i>Aonides oxycephala</i>	ケンサキスピオ
6	<i>Parapronospio sp.</i> Type A	ヨツバネスピオ A型
7	<i>Pseudopolydora paucibranchiata</i>	コオニスピオ
8	<i>Cirriformia tentaculata</i>	ミズヒキゴカイ
9	<i>Tharyx sp.</i>	(ミズヒキゴカイ科)
10	<i>Paraheteromastus sp.</i>	(イトゴカイ科)
11	<i>Maldanidae</i>	タケフシゴカイ科
12	<i>Hydrooides ezoensis</i>	エゾカサネカンザシ

量が多いのがわかる。玉井（1982）によれば、大阪湾泉州沖でも水深10mでヨツバネスピオA型の生息密度が最大であった。

以上より、水深あるいはこれに起因する何らかの環境因子がヨツバネスピオ A 型の生息に影響しているものと考えられる。例えば、細川・堀江（1989）は、溶存酸素量がヨツバネスピオ A 型の生息に重要な環境因子であることを指摘しており、水深と溶存酸素量の関係を明

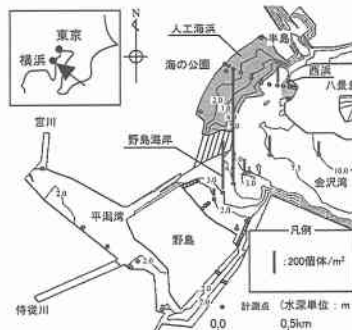


図-2 ヨツバネスピオ A型の分布
(金沢八景: 1999年夏季)

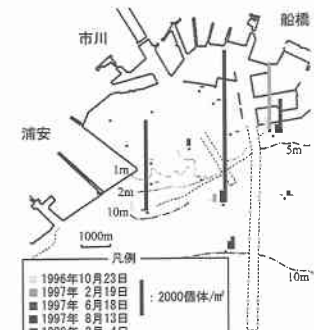


図-3 ヨツバネスピオ A型の分布
(三番瀬・1996年～1998年)

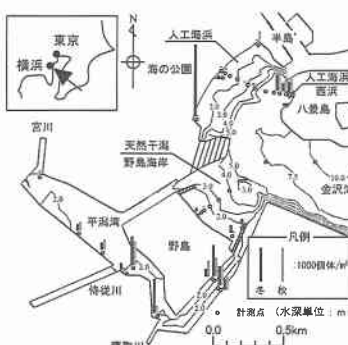


図-4 コケゴカイの分布
(金沢八景: 1998年秋冬季)

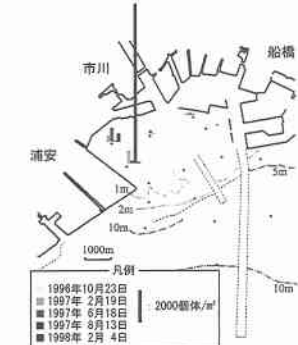


図-5 コケゴカイの分布
(三番瀬：1996年～1998年)

確にする必要があるものと考えられる。

さらに、図-3より、ヨツバネスピオ A型の生息量は季節変動が大きく、冬季に最も多いことがわかる。また、観測期間中に個体数が最も多かった沖中央の点において、1998年2月には8627個体/m²観測されたが、前年2月には467個体/m²しか観測されなかつことなどから、年変動も大きいことがわかる。

図-4に、金沢八景海域における10月(1998年、2000年の平均値)および1999年2月の、コケゴガイの個体数の空間分布を示す。これを平面的にみると、海の公園では干潟中央部よりも南側の防波堤近くや北端に突き出した半島などの背後で、野島海岸でも干潟中央部よりも北側の防波堤近くで個体数が多いことがわかる。また、ポケットビーチである八景島の西浜でも個体数が多い。アサリについては、半島や構造物の背後など水平渦が発生する場所で幼生の底着量が増大する(全国沿岸漁業振興開発協会、1997)との知見があるが、コケゴガイについてこれと同様な傾向があるものと考えられる。鉛直的におみると、特に潮間帶で個体数が多く、わずかであるが水深5mでも生息していた。

図-5に、三番瀬におけるコケゴガイ個体数の空間分布を示す。これより、個体数は季節変動が大きく、特に夏季の、浦安側護岸の背後の1点で生息密度が高いのがわかる。古川ら(1999)は潮流計算の結果からこの場所は渦領域であることを指摘している。また、浦安側護岸背後の点において、1997年2月には800個体/m²観測されたが、翌年2月には、67個体/m²しか観測されなかつことなどから、年変動も大きいことがわかる。

以上、ゴカイ、ヨツバネスピオ A型、コケゴガイの分布を示し、生息環境を考察した。これらの分布を比較すると、多毛類は、種によって生息する場所、すなわち生息環境が明らかに異なることがわかる。これは、多毛類の生息環境を評価する際には、種毎に評価する必要があることを示している。また、多毛類は、季節変動および年変動が極めて大きいことがわかった。したがって、評価の際にはこの点を留意する必要がある。

(2) ゴカイの HEP モデル作成

ゴカイ、ヨツバネスピオ A型、コケゴカイのうち、まずゴカイについて HEP モデルを開発した。最初に、ゴカイの生息に影響を与えると考えられる環境因子として、空間分布から重要な因子と考えられた底質や干出時間を含む複数の因子(表-2 参照)を選択し、各環境因子について SI モデルを作成した。次に、これらの環境因子をパラメーターとする HSI モデルを作成した。なお、塩分については、木村ら(1997)によれば、東京湾内浅場の調査の結果、ゴカイは塩分濃度10~15の条件で高い現存量が認められたとあるが、金沢八景海域では図-6に示す

表-2 ゴカイ HSI モデルのパラメーター(環境因子)

活動	環境因子
投餌	強熱減量
摂餌	クロロフィル量+フェオフィチン量(C・F量)
巣作り	通過質量百分率50%粒径(D_{50})
巣作り	通過質量百分率10%粒径(D_{10})
巣作り	泥分率
投餌、巣作り、活動	干出時間
巣作り	波の底面摩擦速度(u_s)
活動、成長	水温

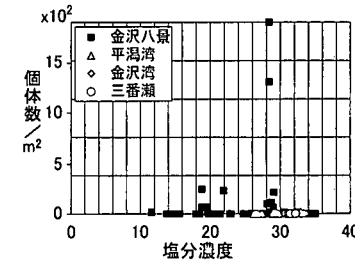


図-6 塩分とゴカイ個体数の関係

ように塩分約28で個体数が多く、傾向が異なっていた。そこで、塩分はゴカイの生息に影響を与えるものと考えられるものの、今回は HSI モデルのパラメーターに加えないことにした。また、底質の還元性はゴカイの生息にあまり影響しない(森下(1981))との知見から、酸化還元電位もモデルパラメーターに加えないことにした。

a) 各環境因子とゴカイ個体数の関係

図-7~14に、各環境因子とゴカイ個体数の関係および SI 曲線を示す。横軸に各環境因子、右縦軸に個体数/m²、左縦軸に SI を示している。なお、この図には、著者らが行った金沢八景海域でのデータ(金沢八景■)、横浜市が行った同海域でのデータ(平潟湾△、金沢湾◇)、および三番瀬のデータ(三番瀬○)の記号を変えて表示している。

これらの図からわかるように、各環境因子について、ゴカイの生息範囲とゴカイの個体数が最大であった地点の条件は、表-3のとおりであった。

b) SI モデルの作成指針と SI モデル

SI は、各環境因子について生物の棲み易さを数値化した指標であり、0.0~1.0の数字で表す。生息不可能な条件は0.0、最適な生息条件は1.0とする。

SI モデルの作成方法を、図-7に示すゴカイの強熱減量の SI モデルを例に説明する。まず、各観測点における強熱減量とゴカイ個体数をプロットする。個体数が最大である地点の強熱減量2.8%が最適な強熱減量であるとして SI を1.0とし、ゴカイが生息していない強熱減量の SI を0.0とする。さらにこの SI 曲線に一般性をもたせるため、既往の知見(表-4 参照)を勘案して、最適な範囲や制限となる境界線を修正する。この例においては、

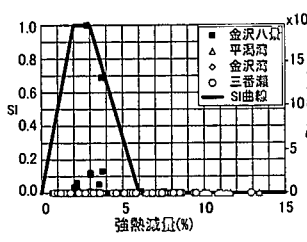


図-7 強熱減量のSI

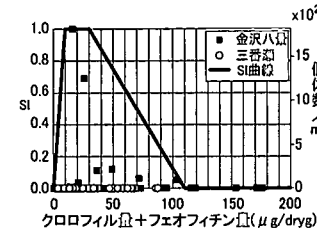


図-8 C·F量のSI

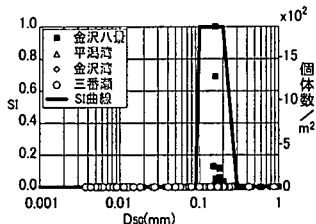
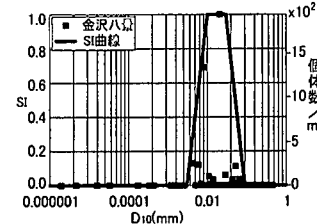
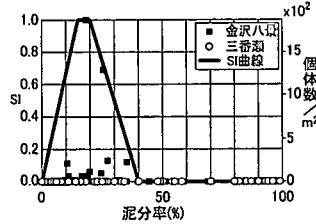
図-9 D₅₀のSI図-10 D₁₀のSI

図-11 泥分率のSI

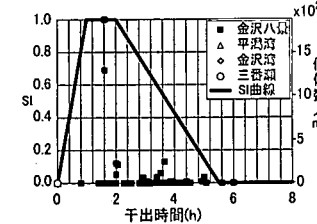


図-12 干出時間のSI

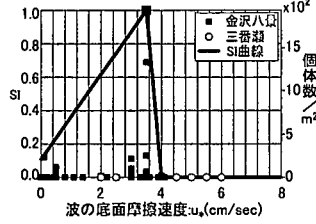


図-13 u*のSI

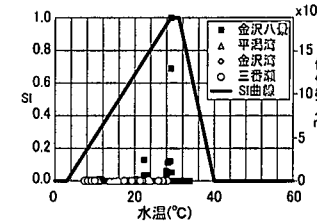


図-14 水温のSI

表-3 ゴカイの生息条件(観測データによる)

環境因子	生息範囲	最適条件
強熱減量	2.1~3.8%	2.8%
C·F量	16~103 µg/dry g	16 µg/dry g
D ₅₀	0.15~0.29 mm	0.16 mm
D ₁₀	0.0042~0.050 mm	0.021 mm
泥分率	10~36%	18%
干出時間	1.6~5.0 時間	1.6 時間
u*	0.5~3.5 cm/s	3.5 cm/s
水温	11~30°C	29°C

大坪ら(1995)の2~3%で高い現存量であったとの知見を勘案し、2~3%でSI=1.0とした。一方、有機物はゴカイの餌であるため、餌がなければ生きられないことから、強熱減量0.0のSIを0.0とし、SI曲線は、それら

表-4 ゴカイに関する知見の参考内容

著者	参考内容
本多ら(1995)	・産卵期が晚秋から冬にかけて。 ・ひとつのコホートが相当長期に亘り観察され、サイズ組成が複雑、多年生多数回繁殖型。
森下(1981)	・水温は活動のピークが30°Cにあり、3~40°Cの間で活動が可能。 ・溶存酸素量は3 ppm(約40%)以上を要求。 ・還元状態が相当進行した黒色の底質にも生息可能。こんなときの底質の表面は酸素不足になっているが、ゴカイは、糞の内面を分泌する粘液で覆い、糞には水が常に流れる構造になっているため、底質の還元性にあまり影響されない。
大坪ら(1995)	・福岡市の今津干潟で調査した結果、有機物含有量約2~3%で最大混生量であり、それ以下では含有率が小さくなるに従い、混生量も減少。
大村ら(1997)	・東京湾内浅場の調査の結果、ゴカイは、勾配1/300程度の穏やかな干潟で、DO4~5 mg/l以上、塩分濃度10~15, IL2~3%, シルト粘土分0.9~15%の条件で高い現存量が認められた。

の間を線形に補間した。なお、最適な強熱減量3%でもゴカイが生息していない点もあるが、これらの点は、強熱減量以外の環境要因に制限されているものと考える。この点はHEPの重要な考え方の一つである。

図-8~図-13に示すC·F量、D₅₀、D₁₀、泥分率、干出時間および波の底面摩擦速度(u*)のSIモデルについては、ゴカイ生息量と各環境因子の関係に関する既往の知見がないため、現地観測データのみからSI曲線を決定した。なお、波のu*は、金沢八景海域においては、数値解析によって求めた各計測点における風向毎のu*の内、最大値(新保ら、2000)を用いた。三番瀬においては、年数回発生する程度の大波高時のu*(千葉県、1998)の解析値を用いた。

図-14に示す、水温のSIモデルについては、図-7に示す強熱減量のSIモデルの作成方法で、森下(1981)の知見を参考にして作成した。森下は、ゴカイは、活動のピークが水温30°Cにあり、3~40°Cの間で活動が可能としている。活動のピークとゴカイ個体数のピークは概ね一致しているようである。そこで、SI曲線は、29~31°Cが最適な水温であるとしてSIを1.0とした。

c) HSIモデル

HSIは、各SIによって評価された環境要因を総合化し、地域の生息地としての適性を数値化した指標であり、0.0~1.0の数字で表す。

本モデルでは、底質間には相関関係があるため、底質SIは、底質項目のSIの最小値とした。最終的にHSIは、底質、干出時間、波のu*および水温の相乗効果があるものと考え、次式のようにこれらSIの積とした。

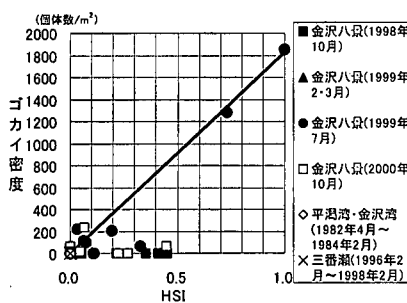


図-15 HSI とゴカイ密度の関係

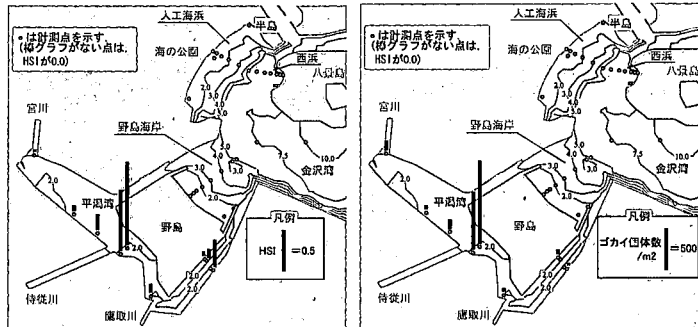


図-16 ゴカイの HSI の分布

図-17 ゴカイの個体数/m²の分布

$$\begin{aligned} \text{HSI} &= \text{底質 SI} (\text{強熱減量}, C \cdot F \text{量}, D_{50}, D_{10}, \\ &\quad \text{泥分率 SI の最小値}) \times \text{干出時間 SI} \times u_* \text{SI} \\ &\quad \times \text{水温 SI} \end{aligned} \quad (1)$$

d) HSI モデルの金沢八景海域への適用

開発した HSI モデルを、金沢八景海域および三番瀬に適用した。図-15 に、HSI と実測個体数の関係を示す。これより、HSI とゴカイ個体数の線形性が高く、概ね適正に評価できているといえる。なお、三番瀬ではゴカイが観測されなかつたが、本モデルの HSI も低い評価 (HSI=0.0) となった。

図-16、図-17 に、金沢八景海域における HSI と実測した個体数の分布を示す。これより、HSI と個体数が良好に対応していることがわかる。また、ゴカイが生息している平潟湾内においても、かなり変動していることがわかる。したがって、アサリのみならずゴカイにおいても、生息場の再生や創造のために、本モデルのような詳細な生息環境の評価を行った上で、環境因子を十分考慮して設計することが必要であると考えられる。

4. おわりに

本研究では、干潟生態系の中位に位置する多毛類の内、ゴカイ、ヨツバネスピオ A 型、コケゴカイを対象に、これらの空間的な分布を示し、これらの生息環境を考察した。さらに、ゴカイを対象に、HEP をベースにした生息地適性評価モデルの開発を行った。主要な結論は以下のとおりである。

(1) 観測海域において、ゴカイは、潮間帶の静穏な細砂域に生息していた。ヨツバネスピオ A 型は、特に水深 10 m 付近で生息量が多かった。コケゴカイは、渦領域での生息量が多かった。

(2) 多毛類は、季節変動・年変動が極めて大きい。したがって、評価の際はこの点に留意が必要である。

(3) ゴカイの生息地環境因子は、底質（強熱減量、クロロフィル・フェオフィチン量, D_{50} , D_{10} , 泥分率）、干出時間、波の底面摩擦速度および水温が重要である。

(4) ゴカイについて、以上の環境因子の SI モデルを作成し、各 SI の相互環境を考慮した HSI モデルを提案した。

(5) 提案したゴカイモデルは、金沢八景海域においてゴカイの生息量を評価できることを確認した。

現在、ゴカイ以外の多毛類についても HEP モデルの開発を進めている。今後、アサリをはじめとする多くの代表生物の評価を総合化する評価手法の確立に、これらの知見を役立てることができるものと考える。

参考文献

- 大坪政美・高見昌二郎・村上進也・朝広和夫 (1995): 今津干潟土の物理・化学的性質と底生生物、農業土木学会大会講演会講演要旨集、1995, pp. 660-661.
- 木村賢史・山下浩二・秋山章男 (1997): 東京都内湾の浅場における生物の分布と水環境保全機能、東京都環境科学研究所年報.
- 栗原 康 (1988): 河口・沿岸域の生態学とエコテクノロジー, p. 335.
- 新保裕美・田中昌宏・越川義功・棚瀬信夫・池谷 豊 (1999): 現地調査によるアサリ生息量と環境要因との関係の検討—神奈川県金沢湾・平潟湾を対象として—、土木学会海岸工学論文集、第 46 卷, pp. 1216-1220.
- 新保裕美・田中昌宏・池谷 豊・越川義功 (2000): アサリを対象とした生物生息地適性評価モデル、土木学会海岸工学論文集、第 47 卷, pp. 1111-1115.
- 玉井恭一 (1982): 大阪湾におけるスピオ科の多毛類 *Paraprinopis sp.* (A型) 個体群の季節変動と成長、Bulletin of Japanese Society of Scientific Fisheries, 48 卷 3 号, pp. 401-408.
- 千葉県土木部企業庁 (1998): 「市川二期地区・京葉港二期地区計画に係る環境の現況について」(要約版), p. 336.
- 古川恵太・桑江朝比呂・細川恭史 (1999): 干潟環境調査—環境条件と生物分布一、港湾技研資料、No. 947, p. 91.
- 細川恭史・堀江 豊 (1989): ヨツバネスピオの貧酸素耐性と内部海底における夏期無生物域の発生条件、港湾技研資料、No. 643, p. 39.
- 本多 仁・千葉俊宏・伊藤絹子・片山知史・千田良雄・大森柚夫・大方昭弘 (1995): 河口汽水域における多毛類の分布様式、日本海水学会誌、第 49 卷、第 3 号。
- 森下郁子 (1981): 河口域の指標生物と生物学的水質判定のための試験、公害と対策、17 卷 5 号, pp. 413-418.
- 横浜市公害研究所 (1986): 平潟湾・金沢湾周辺水域環境調査報告書、公害研資料 No. 68, 横浜市公害対策局, p. 149.